

## II-67 Sand wave の発生機構について

(賛)電力中央研究所 正員 白砂孝夫

sand wave の運動は形態の移動と河床表面の流動化した移動層の運動から成っていふことに着目し、流れおよび河床表面の移動層の運動を二成因ボテンシャル流れとして表わす解析モデルを作成した。そして、sand wave を境界面に発生する内部波と考え、内部波の安定理論により 2 次元移動床路における sand wave の安定領域の検討を行なった。<sup>1)</sup>

### 1. 突水路の場合

#### 1-1 突水路の波状移動床流れ

図-1 に示すように平均水面を  $x'$  軸に、 $x'$  軸(鉛直上向) =  $y'$  軸をとり流れに関する量に添字 1、移動層に関する量に添字 2 をつける。進行速度が  $u_b$  である波状河床  $y'_2 = a \sin m(x' - u_b t)$  上を流速  $u_1$ 、水深  $h_1$ 、水面形状が  $y'_1 = b \sin m(x' - u_b t)$  で流れの流れの複素ボテンシャル  $\omega'_1 = \phi' + i\psi'$  ( $\phi$ : 速度ボテンシャル、 $\psi$ : 流れ角速度) を  $y'_1 = 0 \text{ で } -\partial\phi'/\partial y' = \partial\psi'/\partial t + u_1 \frac{\partial\psi'}{\partial x'}$ ,  $y'_1 = -h_1 \text{ で } -\partial\phi'/\partial y' = \partial\psi'/\partial t + u_1 \frac{\partial\psi'}{\partial x'}$  という境界条件のもとで求めればつきのようになる。<sup>2) 3)</sup>

$$\omega'_1 = -u_1 z' - \alpha(u_1 - u_b) \cos m(z' + \lambda H_1 - u_b t) / \sinh mH_1 \quad (1)$$

ここで、 $z'$  は複素変数で  $z' = x' + \lambda y'$ 、 $m$  は波数で  $m = 2\pi/L$  ( $L$ : 波長、 $\pi$ : 円周率)、 $t$ : 時間、 $H_1$  は  $u_1$  との関係が  $u_1^2 = (\beta/m) \tanh mH_1$ 、( $\beta$ : 重力の加速度) で表わされる仮想水深である。また  $\alpha$  は水面波の振幅で河床波の振幅  $\alpha$  とはつきの関係がある。

$$\alpha/a = y'_1/y'_2 = \sinh mH_1 / \sinh m(H_1 - h_1) \quad (2)$$

一方、河床表面の厚さ  $d$  の移動層の運動の複素ボテンシャル  $\omega'_2$  は  $y'_2 = -h_1 \text{ で } -\partial\phi'/\partial y' = \partial\psi'/\partial t + u_2 \frac{\partial\psi'}{\partial x'}$   $y'_2 = -h_1 - d \text{ で } -\partial\phi'/\partial y' = \partial\psi'/\partial t + u_2 \frac{\partial\psi'}{\partial x'}$  という境界条件のもとでつきのよう求められる。

$$\omega'_2 = -u_2 z' - \alpha(u_2 - u_b) \cos m(z' + \lambda H_2 + \lambda h_1 - u_b t) / \sinh mH_2 \quad (3)$$

ここで、 $H_2$  は  $u_2$  との関係が  $u_2^2 = (\beta/m) \tanh mH_2$  で表わされる仮想移動層厚である。

今、上の座標系で  $x'$  の正の方向に  $u_b$  の速度で動く新座標系 ( $x-y$ ) で見れば sand wave は静止してから全体に  $u_b$  のボテンシャルを加えると ( $x-y$ ) 座標系も静止する。この場合の運動は流れと移動層がそれぞれ  $(u_1 - u_b)$ ,  $(u_2 - u_b)$  の速度で移動し、sand wave と水面波は定常となる。そして、この時の複素ボテンシャルは流れと移動層のそれに対してつきのようになる、

$$\omega_1 = -(u_1 - u_b) z - \alpha(u_1 - u_b) \cos m(z + \lambda H_1) / \sinh mH_1 \quad (4)$$

$$\omega_2 = -(u_2 - u_b) z - \alpha(u_2 - u_b) \cos m(z + \lambda h_1 + \lambda H_2) / \sinh mH_2 \quad (5)$$

流れと移動層運動のそれに対する Bernoulli の圧力方程式  $P + \frac{1}{2} \rho g^2 + \rho gy = \text{const.}$  ( $P$ : 壓力、 $g^2$ : 速度の  $x$ ,  $y$  成分の 2 乗和、 $\rho$ : 密度) を適用できることを利用して  $f_1^2$  と  $f_2^2$  を求める。 (波長  $L$  に比べて波高  $Y$  が小さいとして簡略化してつづける)  $m^2 a^2, m^2 \alpha^2$  は 1 で無視すると  $f_1^2, f_2^2$  はそれぞれ  $f_1^2 = (u_1 - u_b)^2 \{ 1 - 2m \gamma_1 \cosh m(y + H_1) / \sinh mH_1 \}$ ,  $f_2^2 = (u_2 - u_b)^2 \{ 1 - 2m \gamma_2 \cosh m(y + h_1 + H_2) / \sinh mH_2 \}$

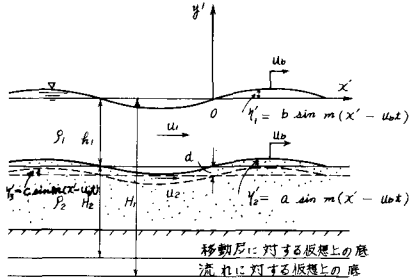


図-1 突水路移動床流れ

移動層に対する振幅上の底  
流れに対する振幅上の底

となる。 Bernoulli の方程式により境界面  $y = -h + \eta_1$  における圧力  $P_1, P_2$  を求め、  $P_2$  の式に  $\eta_1 = \eta_2 \sinh mH_1 / \sinh m(H_1 - h)$  を代入し、  $P_1 = P_2$  とおけば次式を得る。

$$\frac{1}{2} P_1 (U_1 - U_b)^2 \{ 1 - 2m\eta_2 \coth m(H_1 - h) \} + P_1 g \eta_2 - \frac{1}{2} P_2 (U_2 - U_b)^2 \{ 1 - 2m\eta_2 \coth mH_2 \} - P_2 g \eta_2 = \text{const.} \quad (6)$$

を得る。 变数  $\eta_2$  の係数は 0 となるまでから  $U_2$  に関する 2 つ目の一次方程式が得られる。

$$\{-P_1 m \coth m(H_1 - h) + P_2 m \coth mH_2\} U_2^2 + 2\{P_1 u_1 m \coth m(H_1 - h) - P_2 u_2 m \coth mH_2\} U_2$$

$$- \{P_1 u_1^2 m \coth m(H_1 - h) - P_2 u_2^2 m \coth mH_2 + (P_2 - P_1) g\} = 0 \quad (7)$$

### 1-2 各種 sand wave の安定領域および実験結果との比較

安定な sand wave が存在する場合で与えられる  $U_2$  の実根が存在する範囲である。 また sand wave の分類は Kennedy<sup>3)</sup> の定義に従って水面形状と河床面形状とが逆位相(2)式の値が負)に及ぶものと dune, 同位相(2)式の値が正)に及ぶものと antidune, 安定な sand wave が存在しない時には flat bed とする。 (7)式の根の判別式  $D$  は  $\coth m(H_1 - h) = (1 - mh_1 F_i^2 \tanh mh_1) / (mh_1 F_i^2 - \tanh mh_1)$  で  $F_i^2 = U_1^2 / gh_1$  ( $F_i$ : 流れのフルード数) であることを考慮すれば

$$D = \left\{ \frac{1}{(mh_1 F_i^2 - \tanh mh_1)^2} \right\} \left\{ \{P_1 u_1 m (1 - mh_1 F_i^2 \tanh mh_1) - P_2 u_2 m \coth mH_2 (mh_1 F_i^2 - \tanh mh_1)\}^2 \right. \\ \left. + \{-P_1 m (1 - mh_1 F_i^2 \tanh mh_1) + P_2 m \coth mH_2 (mh_1 F_i^2 - \tanh mh_1)\} \times \{P_1 u_1^2 m (1 - mh_1 F_i^2 \tanh mh_1) \right. \\ \left. - (P_2 u_2^2 m \coth mH_2 - P_2 g + P_1 g) (mh_1 F_i^2 - \tanh mh_1)\}\right\} \quad (8)$$

となる。 移動床の速度  $U_2$  の大きさの評価はむづかしいが一応流速より小さな量として  $U_2 = \alpha U_1$  とおけば、  $\coth mH_2 = g/m U_2^2 = g/m \alpha^2 U_1^2 = 1/mh_1 \alpha^2 F_i^2$  を用いれば、 (8)式は、

$$D = -(2^2 - 4\alpha^2 + 2) \tanh mh_1 (mh_1)^2 F_i^4 + (\alpha^2 - 2)^2 mh_1 F_i^2 - 2 \tanh mh_1 / (mh_1 F_i^2 - \tanh mh_1) \quad (9)$$

となる。  $= \kappa D$  の符号に關係のない係数は省略した。

(9)式を判別するには  $\alpha, P_1, P_2$  の値が与えられる必要がある。 本件のように砂の河床上で木が流れの場合には

$P_1 = 1, P_2 = 2$  にすれば大きな誤りはないと思われる。

$P_2 = 2$  となるのは河床砂の比重を 2.65, 空隙率を 0.4 とすれば水中の移動床の見かけの密度がほぼ 2 となるからである。 一方  $\alpha$  の値には不明な点が多く、とくに評価するには問題であるが、移動床とその下の静止床の限界が明確でなく移動しての床より深くまで流動化しているのではないかと思われるところから、 $\alpha$  の値として

移動床粒子の移動速度から判別されるよりは小さい値とするのが適当ではないかと思われる。

図-2 は  $\alpha = 0.4$  として (9)式により sand wave の安定領域を求り、(4)式により sand wave の種類を判別し波数と水深の積  $mh_1$  とフルード数下で表わされた平面に示したものであり、図中の点線(4)の  $U_2$  の 2 根のうち小さい方をとった sand wave の等速度線である。 これによれば dune, 不安定領域の flat bed, antidune, 不安定領域の flat bed が明確に識別され、林<sup>4)</sup>が専門いた理論結果とも領域がおむね一致している。 また等速度線を見れば、dune の領域では sand wave の進行速度  $U_2$  は常に正、すなわち下流に進行するものであるが antidune の領域の一端には  $U_2$  が負なるか sand wave が上流に進行する領域がある。 以上の結果は一般的に認められており 2 次元開水路の

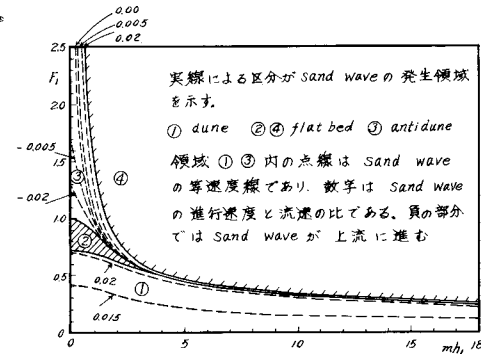


図-2 開水路の sand wave 発生領域 ( $d=0.04$ )

sand wave の特性をよく表わしている。

図 3 は Kennedy<sup>3)</sup>によって集録された実験結果に著者実験、実測結果を追加し、著者の理論領域と比較したものである。理論領域は実験結果とかなりより一致を示していけると思われる。しかし一方では遷移領域の flat bed の判別が明確がないこと、上流に進む antidune の頻度の算出がなされていないことおよび理論的に体積が大である領域にも antidune が定めずフルード数があるが実験では確認されていないとの欠点を持つこれららの点の実現が今後の課題となる。

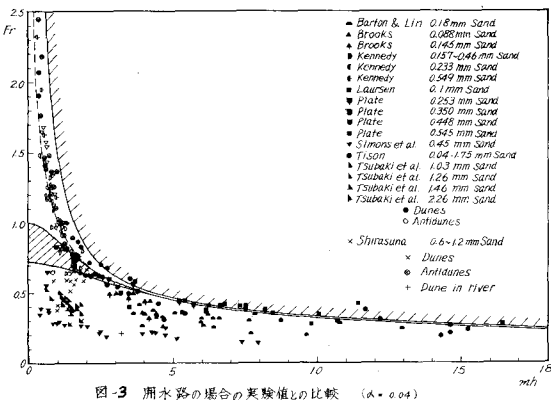


図-3 開水路の場合の実験値との比較 ( $d = 0.04$ )

## 2. 管路の場合

### 2-1 管路の波状移動床流れ

図 4 に示すように上下面とも固い水平及壁面で囲まれた管路移動床水路の場合について考えた。流れと河床の境界面に  $x'$  軸を  $x'$  軸に鉛直上向きに  $y'$  軸とした。(以下用いた記号は開水路の場合と同じである。)開水路の場合と同様、移動速度が  $u_b$  の波状河床  $y' = \alpha \sin m(x' - u_b t)$  上を流速  $u_1$ 、深さ  $a$  で流れの流れの複素ボテンシャル  $\psi' = \phi' + i\psi'$  で  $y' = -h_1$  で  $-2\phi'/\partial y' = 0$ ,  $y' = 0$  で  $-2\phi'/\partial y' = 2\phi'/\partial x' + u_1 \partial \psi'/\partial x'$  となる境界条件のもとで求めればつきのようになる。

$$\omega'_1 = -u_1 z' + \alpha(u_1 - u_b) \cos m(z' - \lambda h_1 - u_b t) / \sinh m h_1, \quad (10)$$

一方、河床表面の移動層の運動、複素ボテンシャルは開水路の場合と同様  $\Rightarrow$  つきのようになる。

$$\omega'_2 = -u_2 z' - \alpha(u_2 - u_b) \cos m(z + \lambda H_2 - u_b t) / \sinh m H_2 \quad (11)$$

$= (H_2 - u_2)$  とし、関係が  $u_2^2 = (g/m) \tanh m H_2$  で表わされる仮想移動層厚である。開水路の場合と同様に上の式を  $x'$  の正の方向に  $u_b$  の速度で動く新座標  $(x - y)$  上で定常化してみると複素ボテンシャルは流れと移動層の運動のそれとれて対応つきのようになる。

$$\omega_1 = -(u_1 - u_b) z + \alpha(u_1 - u_b) \cos m(z - \lambda h_1) / \sinh m h_1, \quad (12)$$

$$\omega_2 = -(u_2 - u_b) z - \alpha(u_2 - u_b) \cos m(z + \lambda H_2) / \sinh m H_2 \quad (13)$$

(12), (13) により流速成分の 2乗和  $g^2$ ,  $g^2$  を求め流れと移動層の境界面上にありて圧力が等しいとすれば開水路の場合と同じ手式により  $u_b$  に関するつきの 2 次方程式が得られる。

$$(\rho_1 \coth m h_1 + \rho_2 \coth m H_2) u_b^2 - 2(\rho_1 u_1 \coth m h_1 + \rho_2 u_2 \coth m H_2) u_b + (\rho_1 u_1^2 \coth m h_1 + \rho_2 u_2^2 \coth m H_2) + (g/m)(\rho_1 \rho_2) = 0 \quad (14)$$

### 2-2 管路の sand wave の安定領域および開水路の場合との比較

$u_b$  に関する 2 次方程式 (14) の根の判別式は

$$D = (\rho_1 - \rho_2)(\rho_1 \coth m h_1 + \rho_2 \coth m H_2) g/m - (u_1 - u_2)^2 \rho_1 \rho_2 \coth m h_1 \coth m H_2 \quad (15)$$

となる。開水路の場合と同様  $u_b = \alpha u_1$ ,  $\rho_1 = 1$ ,  $\rho_2 = 2$ ,  $\coth m H_2 = 1/m$ ,  $\alpha^2 F^2$  を代入して D の符

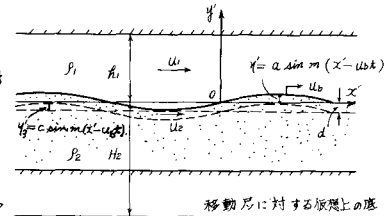


図-4 管路移動床流れ  
移動層に対する仮想層の厚さ

号に関係のない係数を省略すると判別式はつきのようになります。

$$D = F_1^2 - 2 \tanh m h_1 / ((\lambda - 2)^2 - 2) m h_1$$

(6)

図5は  $\lambda = 0.04$  について sand wave の安定する領域と不安定な flat bed となる領域を求める  $m h_1$  平面を示したものである。図6は用水路と管路の sand wave の特性を比較するために、(i)すれど  $\lambda = 0.3$  の場合について同一平面を示したもので用水路は実線で管路は太い点線で示されています。 $\lambda = 0.04$  の場合(図2と図5)と  $\lambda = 0.3$  の場合(図6)を見ると管路、用水路いずれの場合も  $m h_1$  が大きいほど sand wave の安定領域も広くなり、(i)すれど  $\lambda = 0.3$  の場合、用水路と管路で一致しているが、 $m h_1$  が小さくなるにつれ、すれどフルード数の範囲は広くならずが、用水路の場合は急激に大きくなり用水路の状態となり、管路の場合はゆるやかに  $m h_1$  値に近づき開始する。また用水路には、dune、遷移領域の flat bed、antidune、不安定領域の flat bed などがあるが、管路の場合には安定か不安定から区別しきり。これで現象面から見れば、用水路の場合、平坦な河床からフルード数を漸次あげていくと dune → 遷移領域の flat bed → antidune → 不安定領域の flat bed と進むことに対し、管路の場合、安定領域の dune に当たるものから直接不安定領域の flat bed に移行するところである。また、図5の点線は sand wave の等速度線を示したものであるが、直線的であるが、逆の値も常に正であり、上流に進行するものはない。

以上の二つから管路の sand wave には用水路の dune に相当するものしかないと考えた。ニニでの理論結果は実験的に検証されておらず今後の課題とした。

以上、sand wave を2成層流の境界面上に発生する内部波と考え、sand wave の特性を検討して見たが、得られた結果は従来から実験によって確かめられていく諸特性とよく一致した。しかし、以上の結果は、sand wave が安定かどうかの条件を与えるのみで発生、発達機構については説明することができない。実際にはスケールの大きな乱れ速度を上へ引き起された河床の起伏が土の条件に対する安定であれば消えずに河床表面に残り、それが逆に平均流の流線を変化させ流れと河床の相互作用によりつづきと安定な sand wave を形成していくものと考えられるが、これを表現する解析モデルの作成は引続いて、課題である。また、以上の検討の結果、sand wave を流れと河床の移動から成る2成層流の境界面上における内部波として取扱う見通しが得られたものと考えられるので、内部波(sand wave)のエネルギー消費と流れの抵抗則との関連性と移動床の現象を統一的理論に取り組むことを今後の課題とした。

- 参考文献 1) <わざくは、白砂孝夫：各種 sand wave の発生領域に関する研究、電気研技術研究会 No. 70013 '71年4月  
 2) Milne-Thomson, L.H.: Theoretical Hydrodynamics 4th ed. Macmillan, London '62.  
 3) Kennedy, J.F.: The mechanics of dunes and antidunes in erodible bed channels, J. Fluid Mech. Vol. 16 pt 4 Aug. '63  
 4) 林泰造、川上克己：移動河床に関する、不稳定性現象、水工学論文集第2回 '69年2月

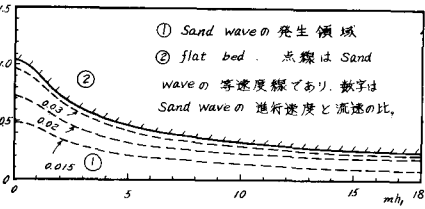


図-5 管路の sand wave 発生領域 ( $\lambda = 0.04$ )

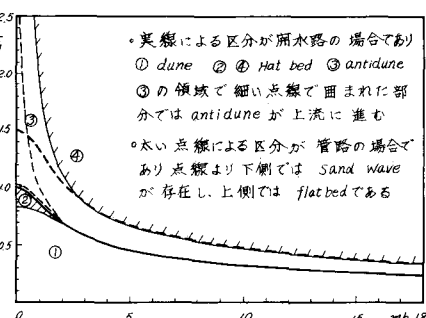


図-6 用水路、管路 各場合の比較 ( $\lambda = 0.3$ )